

Имея в виду, что  $(1 - \mu)v = v_{\text{eff}}$ , найдем

$$\langle |w_{\omega}|^2 \rangle = \frac{1}{4\pi^2} N \left\{ 2v^2 (1 - \mu) - 2v^2 (1 - \mu) \frac{v_{\text{eff}}^2}{\omega^2 + v_{\text{eff}}^2} \right\}$$

Подставляя это выражение в (1.1) и поделив  $dE_{\omega}$  на время процесса  $N/v$ , получим для излучения в одну секунду формулу (1.5).

Таким образом, интерференция парциальных волн, излученных при различных столкновениях, в среднем приводит к уменьшению интенсивности суммарной волны. Это, как мы видели, связано с тем, что амплитуды двух любых парциальных волн, которые определяются соответствующими значениями  $\Delta v$ , в среднем всегда направлены в противоположные стороны.

На высоких частотах, при  $\omega^2 \gg v_{\text{eff}}^2$  интерференция, в среднем, естественно, стремится к нулю и формула (1.5) превращается в (1.4).

Автор искренне признателен Я. Б. Зельдовичу, обратившему его внимание на эффект корреляции.

Поступила 22 IV 1964

ЛИТЕРАТУРА

1. Ландау Л. Д. и Лифшиц Е. М. Теория поля. Физматгиз, 1960,
2. Гинзбург В. Л. Распространение электромагнитных волн в плазме. Физматгиз, 1960.
3. Bekefi G., Hirshfield I. L., Brown S. C. Закон Кирхгофа для плазмы с немаквелловским распределением. Phys. Fluids, 1961, v. 4, No. 2, p. 173.

ИЗМЕРЕНИЕ РАСХОДА ЖИДКОСТИ В КРУГЛОЙ ТРУБЕ  
МАГНИТОГИДРОДИНАМИЧЕСКИМ МЕТОДОМ

А. Е. Якубенко (Москва)

Найдена связь между расходом жидкости в круглой трубе и разностью потенциалов на электродах, представляющих собой дуги окружности, при течении проводящей жидкости с заданным профилем скорости в поперечном магнитном поле.

Рассмотрим течение проводящей жидкости в круглой трубе радиуса  $R_0$  с заданным профилем скорости, зависящим только от  $r$

$$v = V(r)e_z, \quad V(R_0) = 0$$

Здесь  $z$  — координата вдоль оси трубы, а  $r$  и  $\theta$  — полярные координаты в некоторой плоскости, перпендикулярной оси трубы.

В дальнейшем будет предполагаться, что все величины от координаты  $z$  не зависят.

Пусть индуцированный под действием однородного магнитного поля

$$H = H_0 e_y$$

электрический ток снимается с дуг контура (электродов) во внешнюю цепь, как показано на фиг. 1.

Задача состоит в определении связи между разностью потенциалов на внешней нагрузке  $R$  с расходом жидкости в круглой трубе.

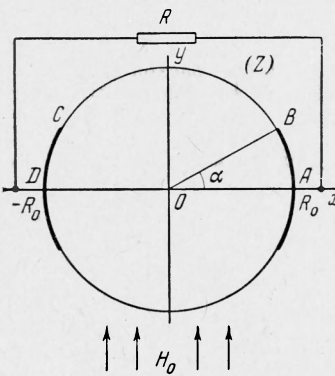
Для решения задачи запишем закон Ома в полярных координатах

$$\begin{aligned} i_r &= \sigma \left( -\frac{\partial \phi}{\partial r} - \frac{V(r) H_0}{c} \cos \theta \right) \\ i_{\theta} &= \sigma \left( -\frac{1}{r} \frac{\partial \phi}{\partial \theta} + \frac{V(r) H_0}{c} \sin \theta \right) \end{aligned} \quad (1)$$

Здесь  $\phi$  — потенциал электрического поля.

Для определения  $\phi$  из уравнения неразрывности для плотности электрического тока получим

$$\Delta \phi = -\frac{H_0 V'(r)}{c} \cos \theta \quad (2)$$



Фиг. 1

Это уравнение решаем при следующих граничных условиях:

$$\begin{aligned} \varphi &= -\varphi_e \quad \text{при } r = R_0, \quad -\alpha < \theta < \alpha \\ \varphi &= \varphi_e \quad \text{при } r = R_0, \quad \pi - \alpha < \theta < \pi + \alpha \\ \frac{\partial \varphi}{\partial r} &= 0 \quad \text{при } r = R_0, \quad \alpha < \theta < \pi - \alpha, \quad \pi + \alpha < \theta < 2\pi - \alpha \\ 2\varphi_e &= RJ, \quad [J = \int_{\pi-\alpha}^{\pi+\alpha} j_r(R_0, \theta) R_0 d\theta] \end{aligned} \quad (3)$$

Решение уравнения (2) ищем в виде

$$\varphi = \Phi(r, \theta) + \frac{H_0}{c} \left[ \frac{r}{R_0^2} \int_0^{R_0} rV(r) dr - \frac{1}{r} \int_0^r rV(r) dr \right] \cos \theta \quad (4)$$

При этом, как нетрудно проверить, функция  $\Phi(r, \theta)$  будет гармонической. Преобразуем закон Ома с помощью соотношения (4)

$$\begin{aligned} j_r &= \sigma \left[ -\frac{\partial \Phi}{\partial r} - \frac{H_0}{c} \left( \frac{1}{R_0^2} \int_0^{R_0} rV(r) dr + \frac{1}{r^2} \int_0^r rV(r) dr \right) \cos \theta \right] \\ j_\theta &= \sigma \left[ -\frac{1}{r} \frac{\partial \Phi}{\partial \theta} + \frac{H_0}{c} \left( V(r) + \frac{1}{R_0^2} \int_0^{R_0} rV(r) dr - \frac{1}{r^2} \int_0^r rV(r) dr \right) \sin \theta \right] \end{aligned} \quad (5)$$

Рассмотрим аналитическую функцию

$$w(z) = u + iv = r \frac{\partial \Phi}{\partial r} - i \frac{\partial \Phi}{\partial \theta} \quad (z = x + iy)$$

Для определения  $w(z)$  получаем следующую краевую задачу, которую в силу симметрии будем решать для верхнего полукруга,

$$\begin{aligned} v &= 0 \quad \text{при } \theta = 0, \pi, \text{ и при } z = R_0 e^{i\theta} \text{ для } 0 < \theta < \alpha, \pi - \alpha < \theta < \pi \\ u &= -\frac{QH_0}{c\pi R_0^2} \cos \theta \quad \text{при } z = R_0 e^{i\theta} \text{ для } \alpha < \theta < \pi - \alpha \\ w(0, 0) &= 0 \quad \left( Q = 2\pi \int_0^{R_0} rV(r) dr \right) \end{aligned} \quad (6)$$

Здесь  $Q$  — расход жидкости в трубе.

Кроме перечисленных условий (6), функции  $u$  и  $v$  должны удовлетворять условию

$$2\varphi_e = RJ \quad (7)$$

Для  $2\varphi_e$  и  $J$  имеем

$$2\varphi_e = \int_{\alpha}^{\pi-\alpha} \frac{\partial \Phi(R_0, \theta)}{\partial \theta} d\theta = - \int_{\alpha}^{\pi-\alpha} v(R_0, \theta) d\theta \quad (8)$$

$$J = 2R_0 \int_{\pi-\alpha}^{\pi} j_r(R_0, \theta) d\theta = -2\sigma \left[ \int_{\pi-\alpha}^{\pi} u(R_0, \theta) d\theta - \frac{H_0 Q}{c\pi R_0} \sin \alpha \right] \quad (9)$$

Учитывая (8) и (9), из соотношения (7) получим

$$\int_{\alpha}^{\pi-\alpha} v(R_0, \theta) d\theta = 2\sigma R \left[ \int_{\pi-\alpha}^{\pi} u(R_0, \theta) d\theta - \frac{QH_0}{c\pi R_0} \sin \alpha \right] \quad (10)$$

Таким образом, помимо условий (6), функция  $w(z)$  должна еще удовлетворять условию (10).

Для решения задачи (6), (10) отобразим полукруг плоскости  $z$  на верхнюю полуплоскость  $\zeta$  так, чтобы начало координат перешло в бесконечно удаленную точку при помощи конформного отображения

$$\zeta = \xi + i\eta = - \frac{(z - R_0)^2}{4zR_0} \quad (11)$$

Точки  $A, B, C, D, O$  контура полуокружности плоскости  $z$  перейдут при этом в точки, лежащие на действительной оси плоскости  $\zeta$  с координатами  $A_1(0, 0), B_1(\xi_1 = (\sin^2 \frac{1}{2}\alpha), 0), C_1(\xi_2 = (\cos^2 \frac{1}{2}\alpha), 0), D_1(1, 0), O_1(\infty, 0)$ . Используя (11), получим формулы, связывающие новые переменные со старыми на отрезке  $A_1D_1$

$$\xi = (\sin^2 \frac{1}{2}\theta)^2, \quad \cos \theta = 1 - 2\xi$$

На плоскости  $\zeta$  имеем краевую задачу. Найти в верхней полуплоскости аналитическую функцию, удовлетворяющую следующим краевым условиям на оси  $\xi$

$$v(\xi, 0) = 0 \quad \text{при } \xi < \xi_1 \text{ и } \xi > \xi_2$$

$$u(\xi, 0) = \frac{QH_0}{c\pi R_0} (2\xi - 1) \quad \text{при } \xi_1 < \xi < \xi_2 \quad w(\infty) = 0 \quad (12)$$

$$\int_{\xi_1}^{\xi_2} \frac{v(\xi, 0) d\xi}{\sqrt{\xi(1-\xi)}} = 2\sigma R \left[ \int_{\xi_2}^1 \frac{u(\xi, 0) d\xi}{\sqrt{\xi(1-\xi)}} - \frac{QH_0}{c\pi R_0} \sin \alpha \right] \quad (13)$$

Решение краевой задачи получаем при помощи формулы Келдыша — Седова [1].

$$w(\zeta) = \frac{QH_0}{c\pi R_0} [2\zeta - 1 - 2\sqrt{(\zeta - \xi_1)(\zeta - \xi_2)}] + \frac{\gamma}{\sqrt{(\zeta - \xi_1)(\zeta - \xi_2)}} \quad (14)$$

Здесь под  $\sqrt{(\zeta - \xi_1)(\zeta - \xi_2)}$  понимается та ветвь функции, которая при  $\eta = 0$  и  $\xi > \xi_2$  берется со знаком плюс.

Входящую в (14) постоянную  $\gamma$  определяем из условия (13). В результате простых выкладок получим

$$\gamma = \frac{H_0 Q \sigma R [E(\sin \alpha) - \cos^2 \alpha K(\sin \alpha)] - E(\cos \alpha) + \sin^2 \alpha K(\cos \alpha)}{2\pi R_0 c [K(\cos \alpha) + \sigma R K(\sin \alpha)]} \quad (15)$$

Здесь  $E(k)$  — полный эллиптический интеграл 2-го рода, а  $K(k)$  — полный эллиптический интеграл 1-го рода.

Определением  $\gamma$  решение задачи заканчивается. Найдем теперь при помощи полученного решения электрические величины во внешней цепи.

Для разности потенциалов и полного тока по формулам (8) и (7) найдем (16)

$$2\varphi_e = \frac{QH_0}{cR_0} \frac{\sigma R}{K(\cos \alpha) + \sigma R K(\sin \alpha)}, \quad J = \frac{QH_0 \sigma}{cR_0} \frac{1}{K(\cos \alpha) + \sigma R K(\sin \alpha)}$$

Формулы (16) дают искомую связь между расходом жидкости в трубе  $Q$  и электрическими характеристиками во внешней цепи.

Исследуем полученные формулы. При  $R \rightarrow \infty$ , что соответствует случаю разомкнутой внешней цепи или включению в цепь вольтметра с большим сопротивлением, получим

$$2\varphi_e = \varepsilon = \frac{QH_0}{cR_0 K(\sin \alpha)} \quad (17)$$

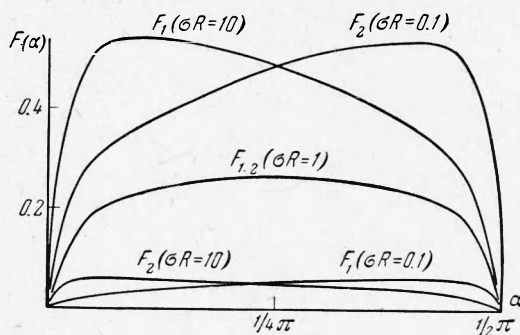
Из формулы (16) видно, что максимальное значение  $\varepsilon$  достигается при  $\alpha = 0$ , т. е. в случае точечных электродов. При  $\alpha = 0$

$$2\varphi_e = \frac{2QH_0}{c\pi R_0} \quad (18)$$

При  $\alpha = \frac{1}{2}\pi$  величина  $\varepsilon$  достигает минимума, который равен нулю. При конечной внешней нагрузке

$$2\varphi_e = 0 \quad \text{при } \alpha = 0 \text{ и } \alpha = \frac{1}{2}\pi$$

Таким образом, при некотором  $\alpha = \alpha(\sigma R)$  функция  $2\varphi_e$  достигает максимального значения.



Фиг. 2

При  $\sigma R = 1$ , например, максимальное значение достигается при  $\alpha = 1/4\pi$ . На фиг. 2 приведены графики функций

$$F_1(\alpha) = \frac{\sigma R}{K(\cos \alpha) + \sigma R K(\sin \alpha)}, \quad F_2(\alpha) = \frac{1}{K(\cos \alpha) + \sigma R K(\sin \alpha)}$$

для  $\sigma R = 0.1, 1$  и  $10$ .

Нетрудно показать, что при  $\sigma R < 1$  максимум  $F_1(\alpha)$  будет лежать на отрезке  $(1/4\pi, 1/2\pi)$ , а при  $\sigma R > 1$  — на отрезке  $(0, 1/4\pi)$ .

При фиксированном угле  $\alpha$  разность потенциалов будет возрастать от 0 при  $\sigma R = 0$  до  $\varepsilon$  при  $\sigma R \rightarrow \infty$ .

Полный ток при этом будет изменяться от значения

$$J = \frac{QH_0\sigma}{cR_0K(\cos \alpha)}$$

соответствующего короткому замыканию, когда  $\sigma R = 0$ , до нуля при  $R \rightarrow \infty$ , когда внешняя цепь разомкнута.

Поступила 26 III 1964

#### ЛИТЕРАТУРА

1. Лаврентьев М. А., Шабат Б. В. Методы теории функций комплексного переменного. Гостехиздат, 1958.

### НЕКОТОРЫЕ МЕТОДЫ ИССЛЕДОВАНИЯ НЕСТАЦИОНАРНЫХ ЯВЛЕНИЙ В УДАРНЫХ ТРУБАХ

*М. К. Березкина, А. Н. Семенов, М. П. Сыщикова*

(Ленинград)

Ударная труба может быть использована для изучения ряда нестационарных задач газовой динамики. Одной из таких задач является возникновение и развитие течения около модели, когда течение создается проходящей ударной волной. Процесс формирования течения, состоящий из отражения и дифракции ударных волн, образования головной ударной волны перед телом, возникновения и развития пограничного слоя, формирования течения в следе за телом, представляет интерес для теории нестационарных газодинамических процессов, а также имеет большое практическое значение. Поскольку длительность процессов очень мала, необходима специальная регистрирующая аппаратура. В настоящей статье дается описание простой ударной трубы, ее оборудования и методов, применявшихся для исследования такого рода процессов.

**1. Конструкция и оборудование ударной трубы.** Схематическое изображение экспериментальной установки дано на фиг. 1. Труба имеет прямоугольное поперечное сечение  $150 \times 50$  мм. Длина канала 8 м, длина камеры 2 м. Канал трубы заканчивается баком, отделяемым от канала тонкой диафрагмой.

Канал трубы неподвижно закреплен на станине. Камера высокого давления и бак могут перемещаться вдоль нее. Это перемещение и одновременно уплотнение диафрагм (между баком и каналом, между каналом и камерой) осуществляются двумя грузовыми винтами с опорами на торцевых стенках бака и камеры.

Канал и камера трубы перед наполнением их рабочими газами откачиваются форвакуумными насосами типа ВН-1М и ВН-2 до давления  $1 \cdot 10^{-2}$  мм Hg. Насос ВН-1М снабжен газобалластным устройством, позволяющим производить откачку газов с парами воды. Начальное давление газа в канале трубы регистрируется термомпарным вакууметром ВТ-2 (диапазон измеряемых давлений от  $1 \cdot 10^{-2}$  до 1 мм Hg), масляным манометром (от 1 до 50 мм Hg) и ртутным манометром при давлениях свыше 50 мм Hg.

Разрыв диафрагмы между каналом и камерой трубы осуществляется иглой, приводимой в движение электромагнитом. Наличие иглы позволяет с хорошей точностью воспроизводить начальные условия в камере ударной трубы.

Канал трубы состоит из ряда заменяемых секций, длиной 1 м каждая. Секции оборудованы станциями измерения скорости фронта ударной волны.

Для получения теневых картин потока применяются простая теневая фотография, искровая скоростная съемка и специальная схема получения временных разверток, использующая теневой прибор ИАБ-451 и ждущий фоторегистратор ЖФР-1.